ISSN 1311-9443

МЕТОДОЛОГИЯ на МЕЖДУДИСЦИПЛИННОТО ПОЗНАНИЕ

Изследвания, модели, концепции, идеи, прогнози



ИЗСЛЕДОВАТЕЛ

ГОД. I ТОМ I

ТЕМАТИКА:

Методология на познанието,
гранични области на познанието,
установка,
подбор на творчески екипи

2001
ХОМОИНСТИТУТ
София, България

ХОМО ИНСТИТУТ

Сборник ИЗСЛЕДОВАТЕЛ
България,София,т.1,2001г.

Редакционна колегия

Главен научен редактор:

д-р инж. Георги Атанасов Ламбаджиев
България, София, 1229
жк. Надежда, бл. 323, В
тел.:(359 2) 377 353
E-mail:georgilam@abv.bg

Технически редактор:

инж.Крис Неделчев Минев

България, София, 1229
жк. Надежда, бл. 152, В
тел.:(359 2) 378 570
E-mail:krisminev@hotmail.com

Фотос на заглавна страница: момиче с аура.

HOMO INSTITUTE

Collection "RESEARCH WORKER"
Bulgaria, Sofia, v. 1, 2001

Editorial board

Scientific Editor:

Eng. Georgi Atanasov Lambadjiev, Ph.D.
Bulgaria, Sofia, 1229
jk. Nadejda, bl. 323, B
tel: (3592) 377 353
E-mail:georgilam@abv.bg

Technical Editor:

Eng. Kris Nedelchev Mineff

Bulgaria, Sofia, 1229
jk.Nadejda, bl.152, 13
tel: (3592) 378 570
E-mail: Krismineff@hotmail.com

ISSN 1311-9443

Format A4

CONTENT 5

INTRODUCTION 10

I. METHODOLOGY OF KNOWLEDGE

1. Lambadjiev G. Basic methodological principles of interfield investigations 12
2. Mineff K. Universal matrix of 64 fundamental principles 15
3. Mineff K. Identification of a hierarchic system of principles for sustanainable development 43
4. Labadjiev G. The evolution of energy guides the development of the Universe (Addition to the thesis of Rudolf Clausius) 49

II. BORDERLINE FIELDS OF KNOWLEDGE

5. Mineff K. Slowing down and accelerating the local time in a biosystem 57
6. Mineff K. Disbalance and balance of sophisticated dynamic system with aura (Graphic method for assessment of aura's structure) 70
7. Mineff K., Tzvetkova L. Emotion: a graphic model 82
8. Lambadjiev G., Lambadjieva N. Method for identification of the degree of emergency and its use in analysis of various influences on living objects 87

III. THE SET

9. Lambadjiev G. Set - general conception and formalization 92
10. Lambadjiev G. Parametric formalization of variable set of a material system 96
11. Lambadjiev G. Correlation between internal and external set of a system 100
12. Lambadjiev G. Set and rang processes 103
13. Lambadjiev G. Set and level of organization 107
14. Lambadjiev G. Formalization of basic psychological mechanisms of diversion from the universal business ethics 111
15. Lambadjiev G. Set of the system subject-object-observer. 115

IV. Selecting of creative experts

16. Lambadjiev G. Conceptual prerequisites for synthesis of technology for selection of creative teams experts 118
17. Lambadjiev G. Identification of the psychological profile of promising creative experts 121
18. Lambadjiev G. Determination of the stage of compatibility of experts in the process of formation of creative groups 124
19. Lambadjiev G. Determination of the degree of motivation of experts in their work 127
20. Lambadjiev G. Determination of the degree of creative (emergent) effect in a team 130
21. Lambadjiev G. Determination of the level of creative potential of a group of co-workers 132
22. Lambadjiev G. Interaction between the method of filtration and regulation of a the members of creative groups 134

ANNOTATIONS 136

V. PRESENTATION 145
Krusteva K. Woodcarving school.

INTRODUCTION

I. Reader's Information

The collection "RESEARCH WORKER" includes investigations, models, conceptions, ideas and prognoses in the field of evolution, behaviour, creative processes and systems structure.

The aims of editorial board are:

1. ***To popularize non-traditional innovations, bringing different fields of knowledge together.***
2. ***To present new methodological means of cognitive processes.***
3. ***To preserve the copyrights of the authors of intellectual products by presentation of these products in prestigious libraries in the world.***

The collection "Research worker" is published annually and granted free or charge at library disposal in:

1. ***National library "St.St. Cyril and Methodices", Bulgaria, Sofia.***
2. ***Central library of the Bulgarian Academy of Sciences, Bulgaria, Sofia.***
3. ***National library of France , Paris.***
4. ***National library of Britain, London.***
5. ***National library, USA, Washington.***
6. ***National library, Japan, Tokyo.***
7. ***National library, Russia, Moscow.***
8. ***Internet.***

II. Information for research workers

The articles have to be writte in Bulgarian and English with a summary a separate page in English. There aren't any limitations on the number and volume of the articles published by one or more authors in the collection "Research worker".

The articles will be published without wording in the original maneescript on the author's own responsibility for the content an darragment of the article as inovation.

The title has to be short with full names of the authors, scientific degree, tile and address for correspondence. In the article are included: introduction, section, tables, formulas, figures, illustrations.

At the end of the article obligatorty are original conclusion or summary of the presented novelty. It is describle that the references should included the cited sources or books and articles whose content was summarized in tha article. Those who wish to publish their text or illustrations in the collection "RESEARCH WORKER" should send them to the scientific editor printed on format A4 (white) and recorded on a disc or diskette. The materials should be send together with two addressed to the author envelopes and post charge for them. The materials received for edition are not to be sent back. The editiorial board infirms the authors about the resolution for publication of the submitted articles. Every author or group of authors, whose article has been published in the collection "Research worker" will receive a copy of the collection by post.

3. Information for sponsors and advertisings

The sponsor could publish their picture, autobiography, essay, poetry, prose, plays, pictures, graphic illustrations, paintings and other creative work of their own on which they wish to reserve their copyrights printing and keeping the information in seven big libraries in the word.

Illustrations and advertisment have to be submitted according to the information for the investigation with free chesen graphic design.

The editorial board wish you a long creative life.

Дисбаланс/баланс на сложна динамична биосистема с АУРА

(Графичен метод за оценка структурата на *АУРА*)

Кръстьо Минев

В настоящата статия се разглежда основно енергийният дисбаланс и баланс. Изясняват се елементите на аурата. Описва се динамиката на глобалния енергопроцес в аурата на биосистема. Аурата се диференцира на "положителни и отрицателни" шест енергозони. Формулирано е енергосъстоянието "здраве и болест", устойчиво и неустойчиво развитие, деструкция/конструкция". Аналитично се извежда уравнение за аурата свързаноно със златното сечение Ф = 1,6180...

Ключови думи: аура, локално полево пространство, нула, безкрайност, степен, дисбаланс/баланс, енергозона, здраве/болест, конструкция/деструкция, граница, "портрет"на енергосъстояние, Ин и Ян.

1. Въведение

Около човешкият организъм функционира аура, чието съществуване е многократно доказано. За нея има много термини: биополе, енергоинформационна матрица, сияние, чакров комплекс, множество от фини (субтилни, полеви) *тела,* голяма монада **Ин/Ян,** локално *пространство*, *квантова специфична супа* около човека, лимби, ореол, биоплазма и т. н. Биосистемата без аура не е биосистема. Около всяко тяло функционира аура.

Човекът е съставен от веществена материя (вещество), изграждащо физическото му тяло и невеществена материя (биополе), изграждаща специфична фонова материя (невидима субстанция) функционираща в полева форма. Двете форми на материята са неразделни (*Радой Данчев*[2]). Настоящата разработка разглежда аурата на сложни биосистеми, с цел да изясни в по-голяма степен нейните елементи в процеса на енергоуравновесяване. Всички видове полета[9] изграждат биополето.

В саморегулиращата се система на индивида протичат много процеси. Най-главният от тях е енергийния. Ще разглеждаме само процесът, на стабилизация на енергийният потенциал ва индивида. За *норма* възприемаме оптималното, *здравословно* енергосъстояние на аурата спрямо външни и вътрешни смущаващи я въздействия.

Предмет на разглеждане от статията са: 1) *енергозони* в аурата: описание и формулировки; 2) графични модели на аура; 3) хармонията между *енергозоните* в цялата аура; 4) динамика на енергийната стабилизация на аура в локално *пространство* на човешки организъм; 5) критерий за оценка на енергийна стабилизация на аура с графичен модел за оценка структурата на биополе.

Предпоставки за разработката са: 1) откриването на дипол[8,9,17] ***Енергия*** в аура; 2) алгоритъма[10] за ***конструкт*** на аура; 3) ел[18]. и математически[17] модел на дипол ***Енергия***; 4) пространствени съотношения[6]; 5) енергонивата[19, 7] в биосистема; 6) графичният модел за емоцията[19]; 7) пространствените връзки между трите световни константи единица (1), златно сечение (Ф = 1,6180…) и числото[15] ***пи*** (π = 3,1416…).

2. Основни цели и основна концепция

Основните цели на настоящата разработка са: 1) да прецизира формулировки за енергийни понятия *здраве* и *болест*, *устойчиво* и *неустойчиво* развитие, *деструкция* и *конструкция* относно сложна биосистема, в пространствен и енергетичен аспект; 2) да опише основните *енергозони* в аурата на човешки организъм; 3) да уточни процесът на хармонизация на енергопроцесите в *енергозоните*, протичащи в биополе; 4) да формулира теоретично обяснение за същността на енергопроцеси при неравновесие и равновесие в аура чрез критерий за оценка; 5) да представи метод за графична оценка на енергосъстояние в структурата на биополе; 6) да идентифицира хармонията между *енергозоните* в биополе..

Основна концепция: аурата е разделена на *енергозони.*
Те се намират в динамично единство.
Дисбалансът/балансът на процесите в аурата се проявяват
като енергосъстояния от вида *здраве/болест,*
конструкция/деструкция.

3. Елементи на аурата

Аурата е индивидуално *пространство* около човешкия организъм, което включва две форми на материята: веществена и полева. Предмет на разглеждане от статията е структура на полевата материя. Тя включва взаимовръзките, взаимоотношенията и произтичащите от тях взаимодействия между множеството от ляво и дясно (-, +) ориентирани вихрови енергопотоци, протичащи в различни *енергозони* на биополето на човека. Идеалните характеристики на аурата на индивида са основни нива и интервали между тях. Те определят разпределението на идеално балансирана структура на аурата. Реалните характеристики на биополе на човека са *енергозони* и граници между тях. Те определят разпределението на реална, текуща структура на аурата на индивид.

Аурата на човешкия организъм включва следните базови *елементи*:

1) *основни нива* на енергийно състояние: ±първо степенно ниво, с нормално отклонение [±10%] от големината на цялата скала, ±второ степенно ниво с допустимо отклонение [±20%], трета гранична степен (*конструкция=здраве⇔болест=патология)* [±30%], ±четвърта хипер/хипо патологична степен [±40%], ±пета степен с начало на функционални и структурни изменения [±50%], ±шеста деформационна степен [±60%], ±седма гранична степен (*патология=болест ⇔ прекомерна болест=деструкция*) [±70%], ±осма степен на деструкция [±80%], ±девета степен в прекомерно отклонение в деструкция [±90%] и последна ±десета степен на взрив (енергиен ±колапс, *смърт* и *раждане* [трансформация] на аурата в друга подобна система [±100%].

2) *интервали* между нивата. Стойността на интервала между нивата е 10% от големината на цялата скала. Максимално отклонение от център на разпределение на ниво е ≈±5%. (фиг.2, 3 по вертикална ос -Y, +Y са разположени два по 10 интервали).

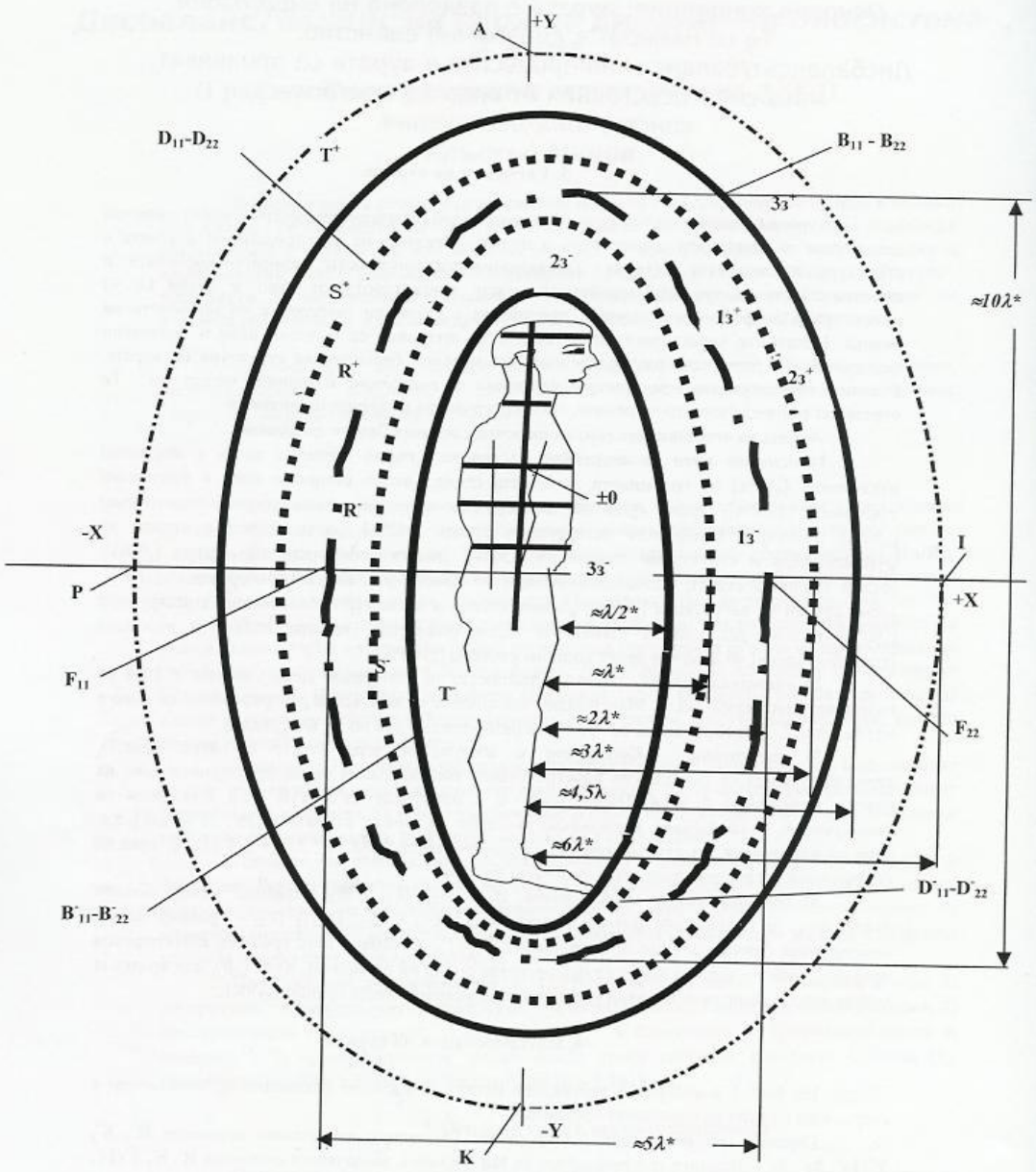
3) *енергозони*. ***Енергозона*** е абстрактна зона (част) от аура (фиг.1), характеризираща се със сложна пространствена конфигурация около *пространството* на човека, включваща **6** слоя. Първа зона е с означение $1з^{+}$, $1з^{-}[R^{+}\ R^{-}]$, т. е. зона на *конструкция*, на *устойчиво, хармонично* развитие, на ***здраве***; втора зона $2з^{+}$, $2з^{-}$ $[S^{+}, S^{-}]$, т.е. зона на ***патология***, на неустойчивост, на *болест;* трета зона $3з^{+}$, $3з^{-}$ $[T^{+}, T^{-}]$, т. е. зона на ***деструкция***, на разграждане, на *прекомерна болест.*

4) *граници* между *енергозоните*: B_{11} - B_{22}, B^{-}_{11} - B^{-}_{2} - граница между *болест (патология)* и прекомерна *болест (деструкция)*; D_{11} - D_{22}, D^{-}_{11} - D^{-}_{22} - граница между *конструкция (здраве)* и *болест (патология)*; F_{11}- F_{22} - условна пета граница, енергопреход през *нула,* или позиция, в която се осъществява смяна на поляритет, ***нула*** (□**0**), или връзка **st** между ляво и дясно ориентирани енергопотоци; условна шеста граница АРКІ.

4. Интерпретация на аурата

На фиг. 1 е изобразен вертикален разрез на идеално яйцевидно *пространство* с *енергозони* от аура на човешкият организъм.

Горните три *енергозони* (слоя) са **Ян** (+)(*хипер*); включващи *елементи* $\mathbf{R^{+}}$, $\mathbf{S^{+}}$, $\mathbf{T^{+}(1з^{+}, 2з^{+}, 3з^{+})}$. Долните три *енергозони* са **Ин** (-)(*хипо*); включващи *елементи* $\mathbf{R^{-}}$, $\mathbf{S^{-}}$, $\mathbf{T^{-}(1з^{-}, 2з^{-}, 3з^{-})}$.



Фиг. 1. Схема на *енергозоните* в аура на човешкия организъм;

АРКІА - елипсоид символ на граница на локалното *пространство* на човека, т. е. голяма монада Ян/Ин; т.т. А, Р, К, І - точки от най-външния контур на аурата при максималната й протяжност; ±0 - *нула*, връзка st_3; F_{11}-F_{22} - хоризовнални ограничителни точки от елипсоид при идеално *балансирано* биополе на човека; -Х, +Х, -Y. +Y - хоризонтална и вертикална ос; АК - екстремални точки по аурата от ординатата -Y,+Y; РІ - екстремални точки от абциса -Х, +Х; $1з^+$, $1з^-$ [R^+, R^-] - първа група

от две противоположни диполни зони в първа енергозона; $2з^{+}$, $2з^{-}$ [S^{+}, S^{-}] - втора група от две противоположни диполни зони във втора енергозона; $3з^{+}$, $3з^{-}$ [T^{+}, T^{-}] - трета група от две противоположни диполни зони от трета енергозона; B_{22} - B_{11} и B^{-}_{22} - B^{-}_{11} - граница между втора и трета енергозона; D_{22} - D_{11} и D^{-}_{22} - D^{-}_{11} - граница между първа и втора енергозона; λ* - дължината на вълната на най-разпространения химичен елемент водород (Н).

На практика **няма** резки граници между различните *енергозони.* Те са плавно преливащи една в друга. Тук условно ги диференцираме специално, за да илюстрираме енергосъстоянията *здраве* и *болест, патология* и *деструкция.*

Чрез енергозоните може да се осъществи оценка и диагностика на енергосъстоянието на човешкия организъм. Аурата функционира така, че глобалният енергопроцес в индивида е в зависимост от това, на какво приблизително разстояние се намира най-външният контур на биополето и в коя енергозона е разположен контура му.

Представата ни за излишък на *енергия* (*хипер*) в аура се илюстрира чрез разположението на най-външния контур на аурата в *енергозони* $2з^{+}$, $3з^{+}$ [S^{+}, T^{+}] на разстояние от тялото от ≈**3λ*** до ≈**6λ***. Недостигът на *енергия* (*хипо*) в биополето на човека се илюстрира чрез контура на локалната аура на индивид в *енергозони* $2з^{-}$, $3з^{-}$ [S^{-}, T^{-}], разположен на разстояние от физическо тяло от ≈**0** до ≈**1λ***. *Здравословното* енергосъстояние на биополе на човешки организъм се разполага в диапазон на *енергозони* $1з^{+}$, $1з^{-}$ [R^{+}, R^{-}], разположен на разстояние от тялото от ≈**1λ*** до ≈**3λ***.

5. Описание и формулировка на *енергозоните*

Първата *енергозона* [R^{-}, R^{+}] може да се характеризира като зона на ***здраве***, на *устойчиво* развитие, на *конструкция,* на еволюция. На фиг.1 тя е означена чрез $1з^{-}$ $1з^{+}$, (**Ян, Ин** *енергозони*). Разполага се в първи слой – диапазон от **±0%** до **≈±30,9%** по параметър отклонение от *норма,* т. е. заема област **[≈±30,9%]**(виж формула 3). Тази зона може да се опише чрез златното сечение **Ф** (формула 2). Зоната се възприема от субекта като израз на енергиен комфорт. Той се изразява в оптимална синхронизация и хармонизация на вътрешните му процеси, като нормален *живот* и ефикасна уравновеност. Зоната е с най-малка степен на отклонение от *равновесие* и се характеризира с най-голяма организация и хармонизация по отношение на другите зони. В нейните рамки енергийните преобразувания водят до възможност за увеличаване на степента на организираност на сложната система. В тази зона (област) енергийните потоци в обекта имат ***най-висока степен на стабилност*** спрямо външни и вътрешни смущения при най-малък разход на *енергия.* Разполага се около тялото на разстояние приблизително от *1λ** до *2λ** (за *хипо*) и от *2λ** до *3λ**(за *хипер*)(фиг.1).

Втората *енергозона* [S^{-}, S^{+}] е зона на ***патология***, на *неустойчиво* развитие, на ***болест,*** на неоптимална работа на нива. Означава се с $2з^{+}$, $2з^{-}$ (**Ян, Ин** зони). Притежава диапазон на отклонение от **≈±30,9%** до **≈±69,1%** по параметър степен на отклонение от норма. Разликата между горен/долен диапазон е **[≈±38,2%]**, което е средна област от цялата монада.

***λ = 0,211666…*м* (*ламбда*) е дължина на вълната на най-разпространения химичен елемент водород (Н).** Тя е мерната **универсална** единица (модул) за дължина в полевия свят, широко използвана от древните, като мерна единица **0,21666…м**, в нейните кратни размери **λ/2 = 0,1052…м, 2λ = 0,432…м, 3λ = 0,635…м, 4,5λ = 0,9525…м, 6λ = 1,27…м, 10λ = 2,11666…м** и т. н.

Тази втора диполна (±) зона е в пропорция, представляваща - $0{,}618^{\pm}$**…** част от цялото златно сечение. Зоната се характеризира с енергиен дискомфорт, с неоптимална синхронизация и хармонизация, с нарушена *норма*, с *нездравословен* растеж, с дисбаланс, с неефикасно уравновесяване. Зоната е с увеличена степен на отклонение от *норма* по отношение на първа зона. Тя е следствие от ***лоша*** организация и хармонизация. В нейните рамки енергийните преобразувания водят до закономерно ***намаляване на степента на организираност*** на сложната система. Последствията са постепенна дезорганизация и десинхронизация. Тя има по-ниска стабилност спрямо външни и вътрешни смущения при

увеличен разход на *енергия*. Обгръща тялото на приблизително отстояние от $\lambda/2^*$ до $1\lambda^*$ (за *хипо*) и от $3\lambda^*$ до $4{,}5\lambda^*$(за *хипер*)(фиг.1).

Третата ***енергозона*** [T^-, T^+] е зона на ***деструкция***, на пълни функционални и структурни разрушения, на ***болестни състояния в последна фаза***, на прекомерна десинхронизация, на тотални енергоотклонения, на крайна несъвместимост и нетърпим дискомфорт, на прекомерно неравновесие. Означава се с $3з^+$, $3з^-$ (**Ян, Ин** *енергозони*). Притежава диапазон от $\approx_{\pm}$**69,1%** до $\approx_{\pm}$**100 %** по параметър отклонение от *норма*. Интервалът на трета енергозона е $\approx_{\pm}$**30,9%.** Представлява $\mathbf{0{,}5^{\pm}}$ част от константа **Ф**. Зоната се характеризира с краен дискомфорт, с ***прекомерна болест,*** с крайна дестабилизация и дехармонизация, с разграждане, на живот извън всякакви граници и норми. Зоната е с ***най-голяма степен на дезорганизация.*** Разполага се около *физическото* тяло на биосистемата на приблизително разстояние $\mathbf{0}$ до $\lambda/2^*$ (за *хипо*) и от $4{,}5\lambda^*$ до $6\lambda^*$ (за *хипер*)(фиг.1).

6. Степен на отклонение от *норма* в 6-те *енергозони*

Степента на отклонение от *норма* характеризира баланса между противоположни енергопотоци (вихри **Ин/Ян**) в биосистемата, в текущия момент от съществуването ѝ.

Болестта е отклонение от нормалното енергосъстояние в биосистема. Проявява се като нецелесъобразна енерговръзка с друг индивид или друг обект, който прекомерно дисбалансира биосистемата, като присъединява аурата ѝ към втора и трета *енергозона* (S^-, S^+, T^-, T^+)(фиг.1, 2, 3, 4).

Допустимата за конкретни условия разлика между **Ин/Ян** енергопотоци е израз на степента на *здравословно* състояние на субекта. Недопустимите разлики за конкретни условия между **Ин/Ян** енергопотоци изразяват неустойчивото *енергосъстояние* на биосистемата.

Пространството на аурата на човека го разделяме на **6** *енергозони* като **3** от тях принадлежат на **Ян** (+), а **3** на **Ин** (-)(фиг. 1, 2). В този първи случай присвояваме **6** буквени означения на **6**-те *енергозони* (***слоеве***) в локалното *пространство*. Означенията ги обединяваме чрез термини **Ин** или **Ян,** както следва:

(1) $\mathbf{Ян = R^+ + S^+ + T^+,}$ $\mathbf{Ин = R^- + S^- + T^-,}$

където буквеното означение съответства на първа (R^-, R^+), втора (S^-, S^+) и трета (T^-, T^+) *енергозона* от аурата. Знакът плюс и минус в степен след буква показва принадлежност на зоната (з) към *положително* (+) или *отрицателно* (-) фазово *пространство*. Плюсът между групите, който не е в степен е знак за сумиране. Монадата чрез **Ф** е:

(2) $\mathbf{Ян = 0{,}5^+ + 0{,}618^+ + 0{,}5^+ = 1{,}618^+,}$
$\mathbf{Ин = 0{,}5^- + 0{,}618^- + 0{,}5^- = 1{,}618^-,}$

където бездименсионните числа съответстват на първа ($\mathbf{0{,}5^{\pm}}$), втора ($\mathbf{0{,}618^{\pm}}$ - реципрочна стойност на златно сечение) и трета ($\mathbf{0{,}5^{\pm}}$) *енергозона* съгласно т. 5. В тези втори равенства диапазонът на *положителната* и *отрицателната* скали ги изразяваме чрез 100%, изразени като числото $\mathbf{Ф = 1{,}6180^{\pm}}$. Плюс и минус в степен имат същото значение, както във формула (1). Монадата изразена чрез проценти е:

(3) $\mathbf{Ян = {}_{+}30.9\% + {}_{+}38{,}2\% + {}_{+}30{,}9\% = {}_{+}100\%,}$
$\mathbf{Ин = {}_{-}30.9\% + {}_{-}38{,}2\% + {}_{-}30{,}9\% = {}_{-}100\%,}$

където процентите съответстват на първа ($_{\pm}$**30.9%**), втора ($_{\pm}$**38,2%**) и трета ($_{\pm}$**30.9%**) зона от т.**5**.

Формули (1, 2, 3) представят двете фазови *полупространства* на биосистема по три различни начина. Това позволява *пространството* на аурата да се интерпретира по различни начини.

Уравнението за цялостното фазово *пространство* (***аура***) на биосистема изразена чрез 6 *енергозони* може да се интерпретира триаспектно:

$$(4)\quad \underline{АУРА} = R^{+} + S^{+} + T^{+} + R^{-} + S^{-} + T^{-} =$$

$$= 0{,}5^{+} + 0{,}618^{+} + 0{,}5^{+} + 0{,}5^{-} + 0{,}618^{-} + 0{,}5^{-} = 1{,}618^{+} + 1{,}618^{-} =$$

$$= {}_{+}30.9\% + {}_{+}38{,}2\% + {}_{+}30{,}9\% + {}_{-}30.9\% + {}_{-}38{,}2\% + {}_{-}30{,}9\% =$$

$$= {}_{-}100\% + {}_{+}100\%.$$

Изрази (4) позволяват да се преминава от една в друга числова форма на представяне на локалното *пространство* на аурата.

Полярната **слоева** (1), **геометрична** (2) и **процентна** (3) числова формализация на *пространството* на аура представят три основни средства за интерпретиране на биополето.

7. Дисбаланс/баланс на сложна динамична биосистема с *АУРА*

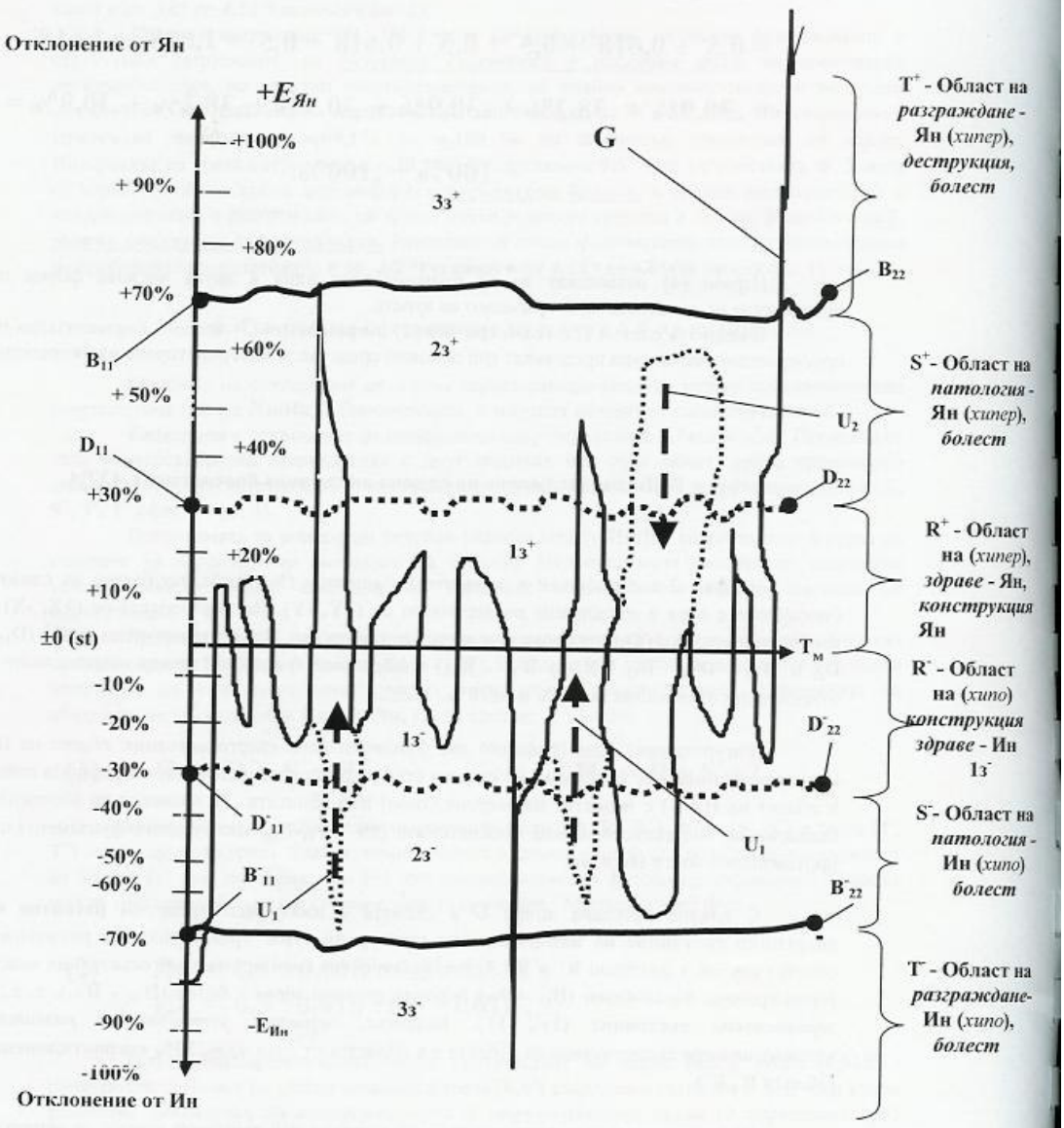
На фиг. 2 е представен в относителни единици (%) дисбаланс/баланс на сложна биосистема с аура в отклонение по вертикала ос **(+Y, -Y)**. По хоризонтала ос **(+X, -X)** е изобразено времето **(Tm)** на протичане на енергопроцесите. Плътните начупени линии **(D_{11} - D_{22} и D^{-}_{11} - D^{-}_{22}, B_{11} - B_{22} и B^{-}_{11} - B^{-}_{22})** изобразяват границите между *енергозоните* с относителни отклонения **≈±30% и ≈±70%.**

Фигурата представя графично две фундаментални енергосъстояния: област на **Ян** (+) характеризиращ се с излишък на *енергия* (*хипер*) разположена **над** хоризонталната линия и област на **Ин** (-) с недостиг на *енергия* (*хипо*) **под** абцисата. Тя е символ на абсолютно балансирано енергосъстояние на биосистемата **(±0 = F_{11}-F_{22})** между двете фундаментални противоположности **Ин** и **Ян.**

С плътна начупена линия ***G*** в схемата е изобразено примерно **развитие на енергийно състояние на най-външният контур на аура**. Траекторията се разполага в общият случай в диапазон R^{+} **и** R^{-}. Той характеризира граници на енергосъстояния между горна граница ***здрав-болен*** **(D_{11} - D_{22})** и долна граница ***здрав - болен*** **(D^{-}_{11} - D^{-}_{22}), т. е., в *здравословно* състояние ($1з^{+}$, $1з^{-}$)**. Балансът, *нормата*, ***устойчивото развитие, здравословното*** съществуване на субекта е в областта от *нула* до **≈|30% енерootклонение (област R^{-}, R^{+})**.

По отклонение от веществено тяло на индивид най-външният контур на аурата се разполага на разстояние от ≈$1\lambda^{*}$ до ≈$3\lambda^{*}$. В ***болест*** аурата на индивида *излиза* извън тези граници, като енергосъстоянието му се характеризира с отклонение над **≈± 30%.** По този начин обектът преминава от ***здравословно*** енергетично състояние, в патологично (***болестно***). Най-външният контур на аурата се променя и енергопроцесите се извършват извън тялото на разстояние от $\lambda/2^{*}$ до $1\lambda^{*}$ (за *хипо* - **Ин**) и от $3\lambda^{*}$ до $4{,}5\lambda^{*}$ (за *хипер* - **Ян**).

С плътна пунктирана линия - стрела на решение U_1 **и** U_2 е изобразена ***посоката на външно въздействие*** с цел ***лечение*** на биосистемата.



Фиг. 2. Примерна графика на развитие на отклонения Ян/Ин в аурата;
D_{11} - D_{22} и D^-_{11} - D^-_{22} - динамични граници (прагове) *здрав - болен* между *енергозони*; B_{11} - B_{22} и B^-_{11} - B^-_{22} - динамични граници (прагове) *патология - деструкция* между *енергозони*; T^+, T^- - *енергозони* на *деструкция* ($3з^+$, $3з^-$); S^+, S^- - *енергозони* на *патология* ($2з^+$, $2з^-$); R^+, R^- - *енергозони* на *конструкция - здраве* ($1з^+$, $1з^-$); ±0 - баланс; Тм - параметър време; U_1 - стрела на решение в синдром Ин; U_2 - стрела на решение в синдром Ян; *G* - крива начупена непрекъсната линия - траектория (индивидуален "портрет") на енергосъстояние на обект във време Тм; Ин - синдром на недостиг на *енергия* (*хипо*); Ян - синдром на излишък на *енергия* (*хипер*); +10%, +20%, +30%…+100% - относително отклонение на *положително* Ян (+); -0, -10%, -20%, -30%…-100% - относително *отрицателно* Ин (-) отклонение по отношение на идеално равновесие на най-външния контур на аурата на индивид.

При синдром на излишък на *енергия* в обекта, се отстранява (-) определено количество *енергия* **(U_2)** от него. При недостиг на *енергия*, се добавя *енергия* (+) **(U_1)** в биосистемата. Количеството на *енергия* U_1 е пропорционално на площа на пика на отклонението, което е необходимо да се преодолее. Фиг.2 илюстрира ситуация на енергиен **излишък (Ян)** и енергиен **недостиг (Ин)** на конкретна биосистема чрез степен на отклонение от абсолютно равновесие (±0%) в относителни единици (проценти). Всяка система с аура при "раждане" навлиза в такъв енергопроцес, а при "смърт" излиза от него.

И трите *енергозони* включват, както *положителни,* така и *отрицателни* области. От тях **3** области са **Ин** (-) и **3 Ян** (+). Условно *положителните* **Ян** *енергозони* на *пространството* са в горната част, а *отрицателните* **Ин** в долната.

В ***нулата,*** абциса **Tm** се осъществява преобразуване, от един поляритет в друг, извършва се енергопреход на различни качества на *енергията*. От тази *нула* започва енергийният процес и в нея, той завършва. В ***нулата*** се заключава великото обединение на противоположностите, на начало и край на енергийният процес (Минев К.[10]).

Прекомерното отклонение от абсолютния баланс (елипсоид F_{11}-F_{22} от фиг.1) между енергийните потоци в аурата на човек, разликите между предната и задна част на аурата, отношението на полевият обем на една част от биополето спрямо другата ражда енергийно отклонение в биосистемата, а оттук и различните енергосъстояния *болест, патология, деструкция* (Минев К.[8]).

Непрекъснатата циркулация на *енергия* от и за външната среда формира състояние на ***непрекъснато неравновесие (дисбаланс, асиметрия на леви и десни вихри) на аурата*.**

Фиг. 2 илюстрира обобщеното съотношения между **Ин** и **Ян в човешкия организъм, проектирано върху неговата аура**.

Графиката може да се инвертира: да придобие **Ин** (-) знак в горни 3 части и **Ян** (+) в 3 долни, без да променя смисъла на графиката.

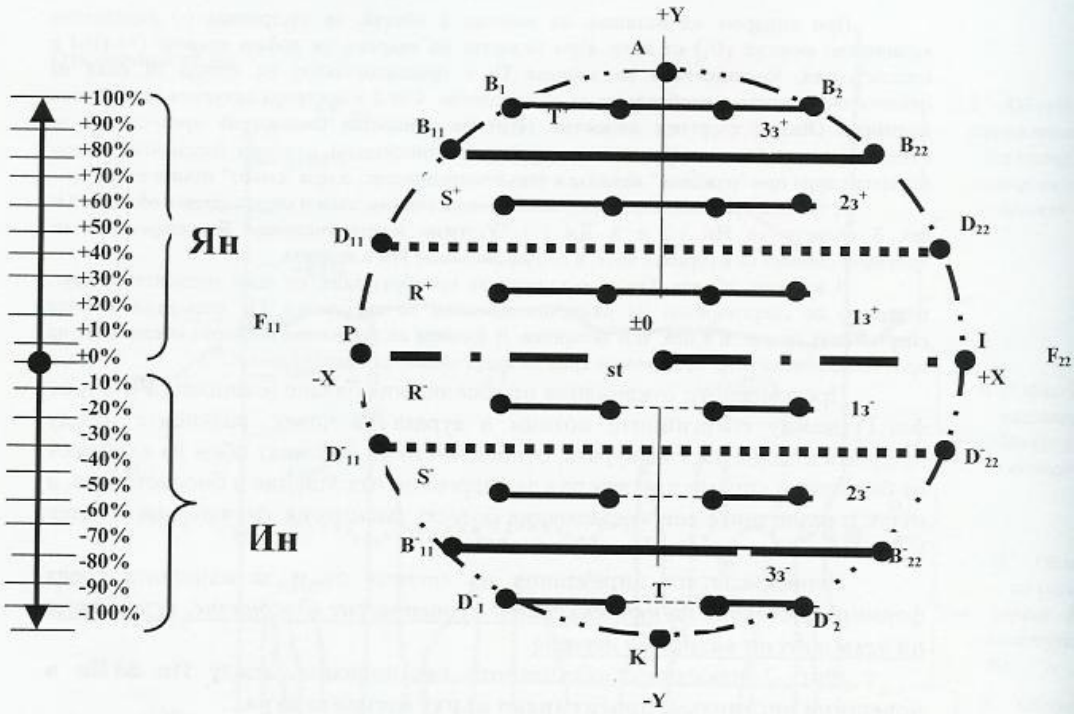
Здраве – болест се илюстрира с отклонения* (фиг.2) *в диапазон от 0% до ±100%. Графиката на "здравето" се разполага в първа енергозона от ±0% до ±30,9%, докато "болестта" е в зона втора и трета от ±30,9% до ±100%.

Болестта е енергосъстояние на сложна система, в която процесите протичат във втора и трета енергозона.

8. Интерпретация на аурата чрез модел на хексаграма

На фиг.3 е изобразена хексаграма, която съответства на графичния модел на част от идеална аура на човешки организъм. Хексаграмата я разглеждаме като наблюдение (под лупа) на част от аурата по радиуса й, т. е. като израз на отделен слой от нея с представяне и на подслоеве в аурата. Хексаграмата е древно българско познание, пристигащо от първата научна схема - **Вечният български календар (около 4000 до 9000 г. пр. н. е**). Моделът представлява монада **Ин/Ян**. Тя описва множество енергосъстояния на аурата. На фигурата е показано само едно от нейните **64** вида енергосъстояния. Фигурата е разделена на *положително/отрицателно* пространство, като горната половина (**PAI**) е **Ян**, а долната (**PKI**) е **Ин**.

В този модел понятията **Ин/Ян** се представят и в допълнително значение; **Ян** се представлява от непрекъсната хорда (B_1-B_2), а **Ин** от прекъсната хорда (D^-_1-D^-_2).



Фиг.3. Схема на хексаграмен геометричен модел на аура;

АРКІА - окръжност: символ на граница на *пространството*; ±0 - *нула*, връзка st, център; F_{11}-F_{22} - опорни точки по абциса; -X, +X - ос; АК - ордината; -Y,+Y - ос; ±0 - А = радиус r = 1; ±0 - К = радиус r = 1; АК - диаметър 2r = 2; $1з^+$, $1з^-$ [R^+, R^-] - първа група от две противоположни зони (съответстващи на фиг.1); $2з^+$, $2з^-$ [S^+, S^-] - втора група от две противоположни зони (адекватни на фиг.1); $3з^+$, $3з^-$ [T^+, T^-] - трета група от две противоположни диполни зони (съответни на фиг.1); B_{22} - B_{11} и B^-_{22} - B^-_{11} - граници между втора и трета зона (тъждествени с фиг.1); D_{22} - D_{11} и D^-_{22} - D^-_{11} - граници между първа и втора зони (слоя)(еднакви с фиг.1); Ин - РКІ; Ян - РАІ; B_1 - B_2 - отсечка от три части, символ на Ян; D^-_1 - D^-_2 - две къси отсечки символ на Ин; +0, +10%, +20%, +30%...+100% - разделение на *положителната* Ян (+) половина на равнината на 10 части; -0, -10%, -20%, -30%...-100% - разделение на *отрицателната* Ин (-) половина на равнината на 10 части.

Графичният модел на фиг.3 е разделен на **6** слоя по оста на -Y, +Y. Горните **3** слоя са *положителни* - **Ян**, а долните **3** слоя са *отрицателни* - **Ин**. Между слоевете са илюстрирани граници между *енергозоните* с хоризонтални отсечки (D_{22} - D_{11}, D^-_{22} - D^-_{11} и B_{22} - B_{11}, B^-_{22} - B^-_{11}). В горните **3** слоя са разположени **3** *дълги* (B_1 - B_2) отсечки съставени от **9** подотсечки. Долните **3** слоя включват **3** *прекъснати* (D^-_1 - D^-_2) отсечки с **9** подотсечки. Всяка от **6**-те хоризонтални отсечки в моделът е разделена на три равни части (подотсечки), с което се въвежда формален триализъм в нейната структура. Изобразени са черни уголемени точки, за да илюстрират по-добре преходите между частите. Триализмът в модела (фиг.3) се проявява чрез: 1) три слоя в горна част и три в в **6**-те слоя на хексаграмата са с равна дължина. Шестте слоя с включени в тях **6** отсечки съответстват на **6**-те *енергозони*.

Фигурата представлява абстрактен графичен модел на 6-те *енергозони* в локалното *пространство* на сложен биообект, разглеждан във вертикален разрез.

Десетичната числова скала[11] в модела се получава от разделяне на горната му половина **Ян** на **10** равноинтервални части, а в долната **Ин** от -0% до -100% (фиг.3).

Четириализмът се проявява в модела от симетричното му разделяне от двете оси **+X, -X** и **Y, -Y** на **4** сектора по **90°**, като всеки от четирите сектора включва еднакво по количество подотсечки.

Триализмът и четириализмът едновременно и непротиворечиво изграждат модела на цялото[16] **Ин/Ян**.

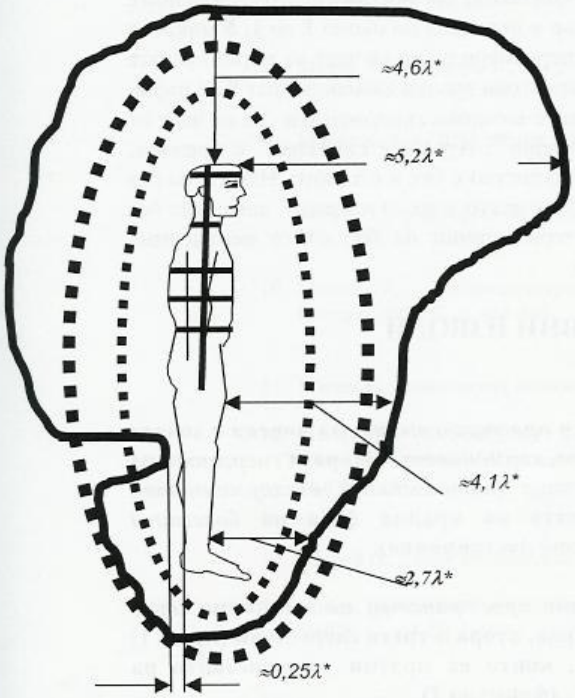
9. Графичен метод за оценка структурата на *АУРА*

Методът включва следните стъпки: 1) диагностика[1] на аурата с непосредствено измерване на разстоянията, на които тя е разположена спрямо тялото; 2) графично изчертаване на най-външния контур на аурата; 3) оценка на цялата аура и на отделни нейни участъци по критерий за оценка (хармония).

Аурата я проектираме върху отклонения от *норма* от типа *болестни* и *здравословни* съгласно фиг. 2, 4.

Всяка аура се съпоставя спрямо принадлежност към *енергозони* първа, втора или трета.

На фиг. 4 е изобразен конкретен пример за оценка структурата на аура.



Фиг. 4. Схема на аура на *болен* субект; двойна стрелка-измерено разстояние; пунктирани елипсоиди - граници между първа и втора енергозона.

Двата пунктирани елипсоида обхващащи тялото на човека изобразяват област на *здравословното* разположение (**1з$^+$**, **1з$^-$**) на външен контур на аурата.

Резултатите от измерването са посочени на фигурата: ≈***2,7λ*** пред крака, ≈***4,6λ*** и ≈***5,2λ*** около глава, ≈***4,1λ*** в среда на тялото и ≈***0,25λ*** зад колена.

Размерът ***2,7λ*** **[+27%]** принадлежи към първа зона **R$^+$** - *енергозона* на *конструкция* - *здраве* (*хипер*)(**1з$^+$**);

Размерът ***4,6λ*** **[+76%]** и ***5,2λ*** **[+86%]** принадлежат към трета зона **T$^+$** - *енергозона* на *деструкция* - *болест* (*хипер*) (**3з$^+$**);

Размерът ***4,1λ*** **[+68%]** принадлежи към втора зона **S$^+$** - *енергозона* на *патология* - *болест* (*хипер*)(**2з$^+$**);

Размерът ***0,25λ*** **[-85%]** принадлежи към трета зона **T$^-$** - *енергозона* на *деструкция* - *прекомерна болест* (*хипо*)(**3з$^-$**);

Размерът ***2,7λ*** = **+27%**, защото от **+0%** до **+30%** е диапазон **2λ** до **3λ.** Вторият размер ***4,6λ*** = **+76%**, тъй като от **+70%** до **+100%** съответстват на **4,5λ** до **6λ.** Петият размер ***2,5λ*** = **-85%,** защото диапазона **-70%** до **-100%** е адекватен на разстояния **0,5λ** до **0.**

Следователно енергийният баланс на разглеждания индивид е *нормален* (*непатологичен*) в много малка област в долна част на тялото му. Енергийният ***дисбаланс*** е със синдром на излишък на *енергия* в средната част на тялото. Информационната структура на биополето е в *болестно състояние* в частта около главата.

Най-голямото *нездравословно* отклонение е в областта около глава на разглеждания субект.

Енергийният ***дисбаланс*** на аурата е със синдром на недостиг на *енергия* в обособена малка част зад колена.

Критерий за хармонията е принадлежност към първа *хипер/хипо енергозона* [$\mathbf{R^+}$,**R**] (**1з**$^+$, **1з**$^-$).

Общият извод е: организмът е в *болестно енергосъстояние.* То се характеризира глобално като **Ян** (+), т. е., като излишък на *енергия* проявена в аурата му. Изключение е малката област зад колена в аурата, която е в **Ин** (-) енергосъстояние, в ***прекомерно болестно състояние.***

На фиг. 4 в тялото на индивида е изобразен енергийният ***скелет*** на чакровия комплекс с дебели черни линии. Те символизират основните енергомеридиани на комплекса. В човешкият организъм енергомеридианите са с променлив неправилен диаметър в порядъка на около **1** до **1, 5** микрона (д-р Ричард Гербер[1]). Показаните енергомеридиани са част от меридианната мрежа на ***подсъзнанието***[10]**.** Петте кръстови връзки символизират **5**-те първи *нули* (**±0**) в човек адеквант на първите *точкови енерговръзки.* Те са част от *енерготочковата* мрежа на ***съзнанието***[10]**.** Аурата е свързана[10] с мрежите. Нещо повече, тя е едно неразделно единство с тях и с тялото. Няма аура без енергиен ***скелет***, който да я формира, както и няма чакров[3,4] комплекс без аура. Затова символните дебели черни линии на фиг. 4 са неотменима същност от структура на биополето.

ОСНОВНИ ИЗВОДИ

1. **Първата *енергозона* в аурното *пространството* на човека е зоната на *здравето (констрекцията, хармонията).* Втората *енергозона* на аурата е зоната на *болестта (патологията, дисхармонията).* Третата *енергозона* е зоната на крайна фаза на *болестта (деструкцията, прекомерната дисхармония).***

2. **Идеално конфигурирано аурно *пространство* на клинично *здрав* човек включва в себе си първа, втора и трета енергозони (извод 1) в хармонични пропорции, които са кратни на константа на златното сечение Ф=1,6180…(формула 2).**

3. **В зависимост от степента на отклонение на конфигурацията на аурата от идеалните й пропорции (извод 2) може да се диагностицира вида (енергиен излишък или недостиг), локализацията на заболяването и степента на проявлението й.**

Литература

1. Гербер Р., *Вибрационная медицина*, Изд.КОР, М., 1997, с. 146, 185-207.
2. Данчев Р., *Гравитацията*, 1998, Изд. Ю. Данчев с. 1-55.
3. Минев К, *Чакрите - универсалните енергийни модули във Вселената,* Контакт`98, С., 1998, т. II, с. 125…127.
4. Минев К., *Чакра,* доклад на 3.11.2000 на Интердисциплинна Гражданска Академия (ИНГА), 2000, С., с. 1…23.
5. Мандаджиева Мария, *Великото единство на природата и човека*, ИК НенАН, Варна, 1997, с. 127, с. 129-157.
6. Минев К., *Неустойчиво / устойчиво развитие на икономическа система,* доклад на VIII международна конференция "Етика в бизнеса", 20-22.10. 2000, С., НДК, с. 1-10.
7. Минев К., Цветкова Л., *Енергийно психологическо въздействие на цветовете върху човешкия организъм,* доклад от 15.06.2001 на ИНГА, С., с. 1-5.
8. Минев К. *Фенг Шуй лекции*, 2001, С., с.1 - 108.
9. Минев К., *Обобщено диполно уравнение за енергията,* Контакт`2000, С., с. 450…452.
10. Минев К., *Забавяне/ускоряване на локално* ***ВРЕМЕ*** *в биосистема*, Контакт`2000, С., с. 438-449.
11. Минев К., *Божествена математика,* Контакт` 2000, С., с.460…467.
12. Минев К., Александрова Д., Марков Кр., Хинков Ст., *Трите световни константи единица (1), златно сечение Ф=1,6180 и π = 3,1416,* Контакт` 2000, С, с 468…482.
13. Петров П., *Десет абстрактни числа,* Изд. Петров П., 1999, С. с. 10-15.
14. Минев К., Математическият модел на дипол *Енергия,* доклад от 15.06.2001 на ИНГА, С., с.1-5.
15. Минев К., *Синтез на електрически модел на чакра*, Контакт`2000, С.,с. 435…437. 19. Минев К., Цветкова Л., *Емоция: графичен модел,* доклад на 15.06.2001 на ИНГА, С., с.1-5, под печат. 20. Шуцки Ю., *Книга на промените И-ДЗИН*, 1994, Санкт Петербург, с. 5-12. 21.